Лекция №3 Бұрғылау және сынама алу әдістері.

Пән: Арнайы гидрогеология

Лектор: Тілеуберді Нұрбол

2024

Буровые работы



Выбор способа бурения

От выбора способа бурения скважины зависит:

долговечность скважины,

дебиты откачиваемой воды,

качество подземных вод,

кольматация фильтров скважины.

Выбор способа бурения скважины зависит от многих факторов:

целевого назначения скважины,

геолого-гидрогеологической ситуации и изученности района

технико-экономических оценок,

диаметра и глубины бурения,

требуемых дебитов

2 основных способа:

ударное

вращательное





Условия применения

Ударно-канатный

В рыхлых и скальных породах приглубине забоя скважин до 140 м.

Роторный с прямой промывкой

Комбинированный (ударно-канатный и роторный) В несвязных, песчанистых, текучихмягкопластичных и скальных грунтах при
глубине скважин до 500и и более.
Предусматривается возможность
разглинизации скважин, а в безнапорных
водоносных горизонтах скальных пород
использование пля промывки чистой волы
В сложных гидрогеологических условиях
при глубине скважин свыше 150 м.
Ударный — до глубины 150 м в
безнапорном или слабонапорных
водоносных горизонтах и при частом
чередовании водоносных и непроницаемых
слоев; роторный — в безводных

(водоупорных породах).

Условия применения

Роторный с обратной промывкой

В рыхлых породах при глубине скважин 400-500 м, в России обычно бурят скважины этим способом до глубины 200м. Обеспечивается возможность бурения скважин на всю глубину диаметром 1000мм и более.

Реактивно-турбинный

В рыхлых, текуче-тугопластичных и скальных породах при глубине скважин более 200 м и диаметре свыше 1000 мм.

Колонковый

В скальных породах при диаметре скважин до 200 мм.

Шнековый

Рекомендуется преимущественно при бурении в несвязных грунтах (пески, гравийно-галечниковй грунт), диаметр бурения до 200мм, глубина забоя скважины бурения менее 200м.

Опытнофильтрационные работы $(O\Phi P)$

откачки

наливы

ОФР

нагнетания

экспресс-откачки

экспресс- наливы



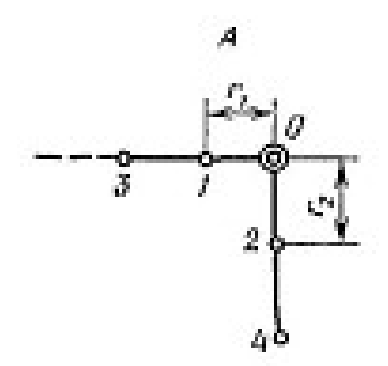
кустовые



групповые



одиночные



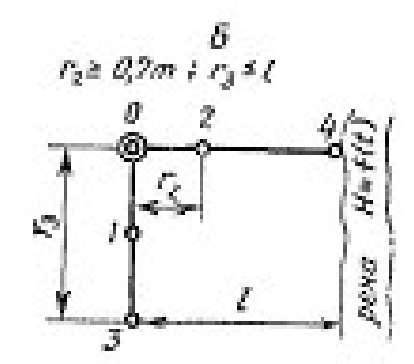
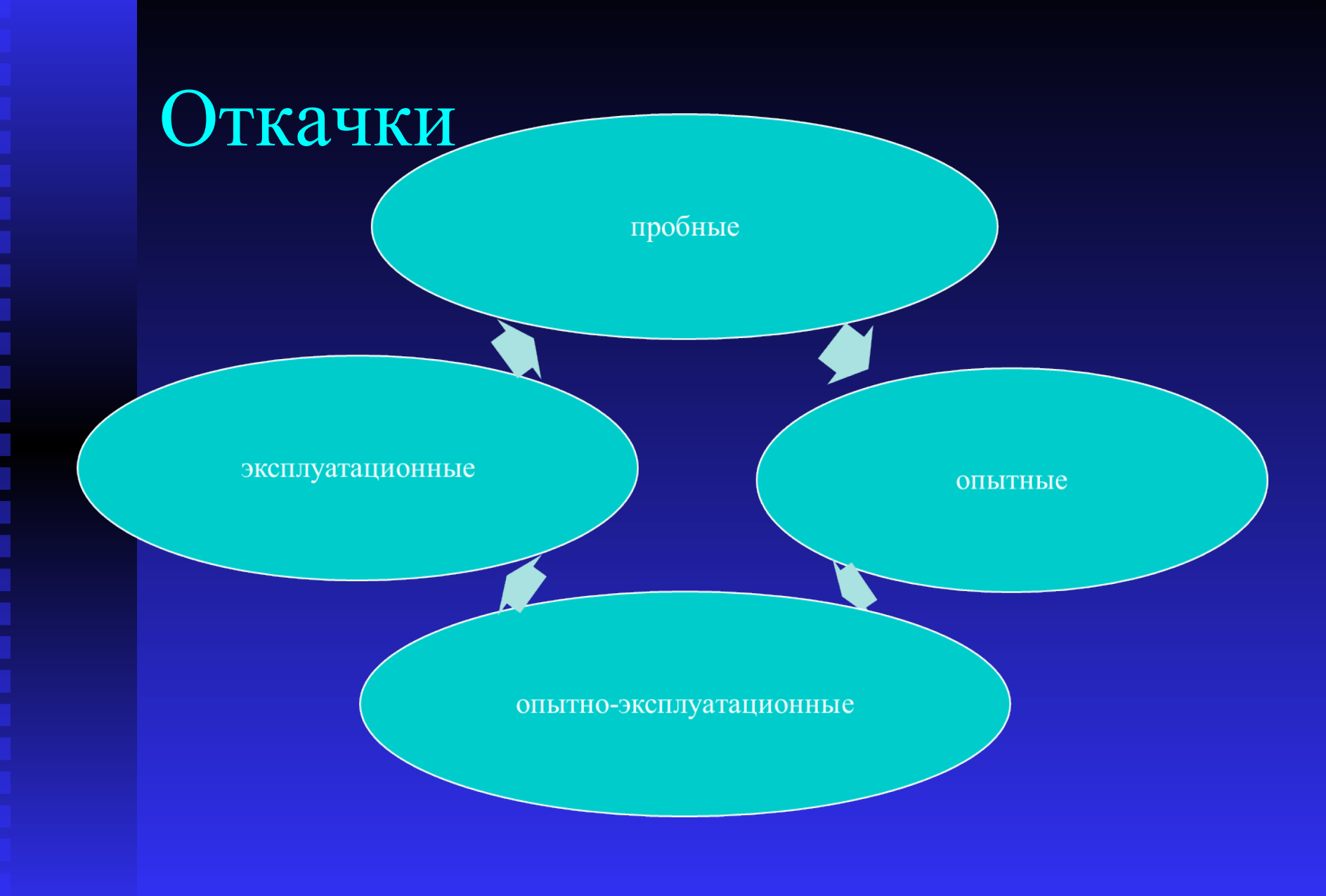


Рис 28 Схема опытного куста, A — в пеограниченном власте, B — при связи власта с рекой: θ — опытная скважена, I, 2, 3, 4 — наблюдательные скважены



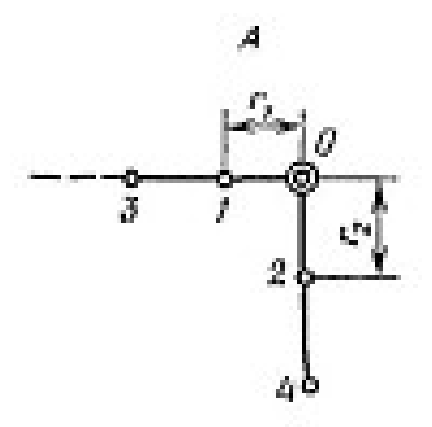
Откачки из скважин являются основным (наиболее массовым) видом опытно-фильтрационных работ. По своему назначению, организации и получаемым результатам они подразделяются на пробные, опытные и опытно-эксплуатационные.

Пробные откачки являются основным видом опробования картировочных скважин, но также выполняются на всех типах гидрогеологических скважин перед их дальнейшим использованием в качестве опытных, разведочно-эксплуатационных и др. Они обычно бывают кратковременными (одна бригадосмена 6—10 ч, реже более) с одним понижением уровня. Основными задачами

пробных откачек является прочистка (прокачка) скважины после окончания буровых работ, определение удельного дебита скважины, который является удобной сравнительной характеристикой водообильности различных водоносных горизонтов или интервалов ($q_{yx} = Q/S$, где Q — дебит скважины, л/с, м³/ч и др.; S — величина понижения уровня воды при откачке, м), ориентировочная оценка проводимости водоносного горизонта (T = Km, м²/сут), отбор пробы воды для определения химического состава.

Откачки

Опытные откачки являются основным методом оценки фильтрационных (гидродинамических) параметров водоносных и слабопроницаемых пород: коэффициентов фильтрации, водопроводимости, пьезо- и уровнепроводности, водоотдачи, параметров перетекания и др. По схеме проведения опыта они подразделяются на одиночные и кустовые откачки. Одиночные опытные откачки в отличие от пробных выполняются с двумя-тремя понижениями уровня и дают только дополнительную возможность оценки зависимости дебита скважины от величины понижения уровня: Q = f(s).



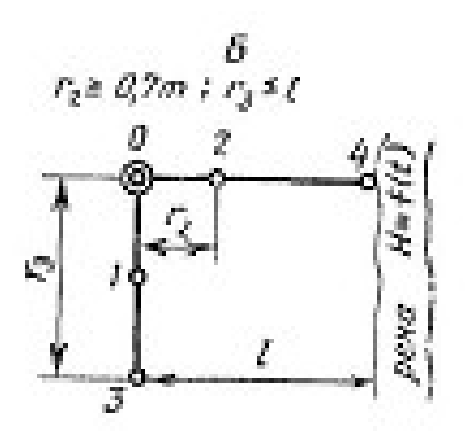


Рис 28 Схема опытного куста, A — в неограниченном власте, B — при связи власта с рекой: θ — опытная скважена, I, I, I, I, I — наблюдательные скважены

Схема проведения кустовых опытных откачек предусматривает ЗЧКИ

Схема проведения кустовых опытных откачек предусматривает оборудование кроме опытной скважины, из которой осуществляется откачка, нескольких наблюдательных скважин, по которым ведется регистрация изменений положения уровня и реже минерализации подземных вод в процессе проведения опыта. В зависимости от задач опыта наблюдательные скважины оборудуются непосредственно на испытуемый пласт (один или два луча при необходимости оценки анизотропии пласта) или на смежные водо-

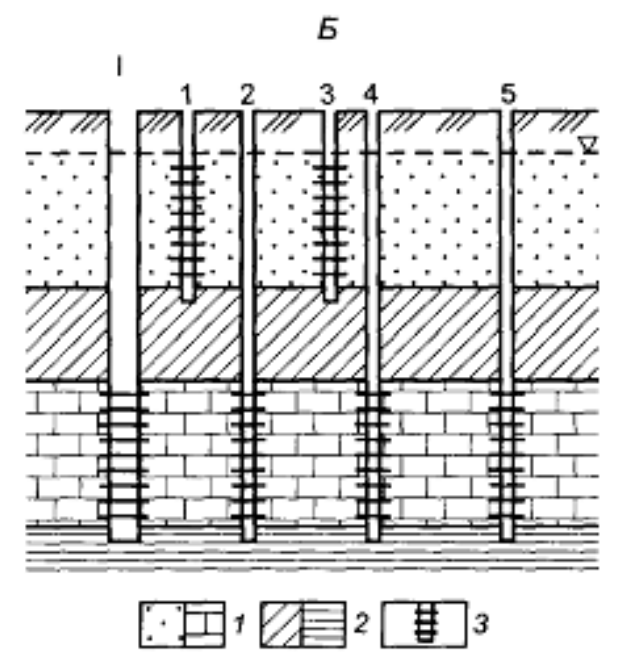
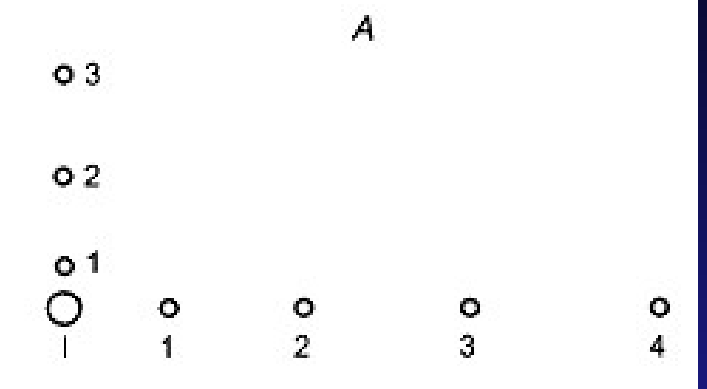


Рис. 18.3. Схемы размещения скважин при проведении кустовых откачек. А— в плане, при оценке параметров (анизотропии) пласта по двум направлениям; Б— в разрезе, при исследовании взаимодействия двух, ярусно залегающих водоносных горизонтов. 1— опытные скважины; I—5— наблюдательные скважины; I— водоносные породы, 2— слабопроницаемые породы, 3— фильтры опытных и наблюдательных скважин



Расстояния наблюдательных скважин от опытной определяются предварительным расчетом исходя из того, чтобы в наиболее удаленной скважине (рис. 18.3) величина понижения уровня в процессе опыта была больше возможной погрешности его определения.

$$r_n = r_1 * \alpha^{n-1}$$

Графики зависимости динамического уровня и дебита во

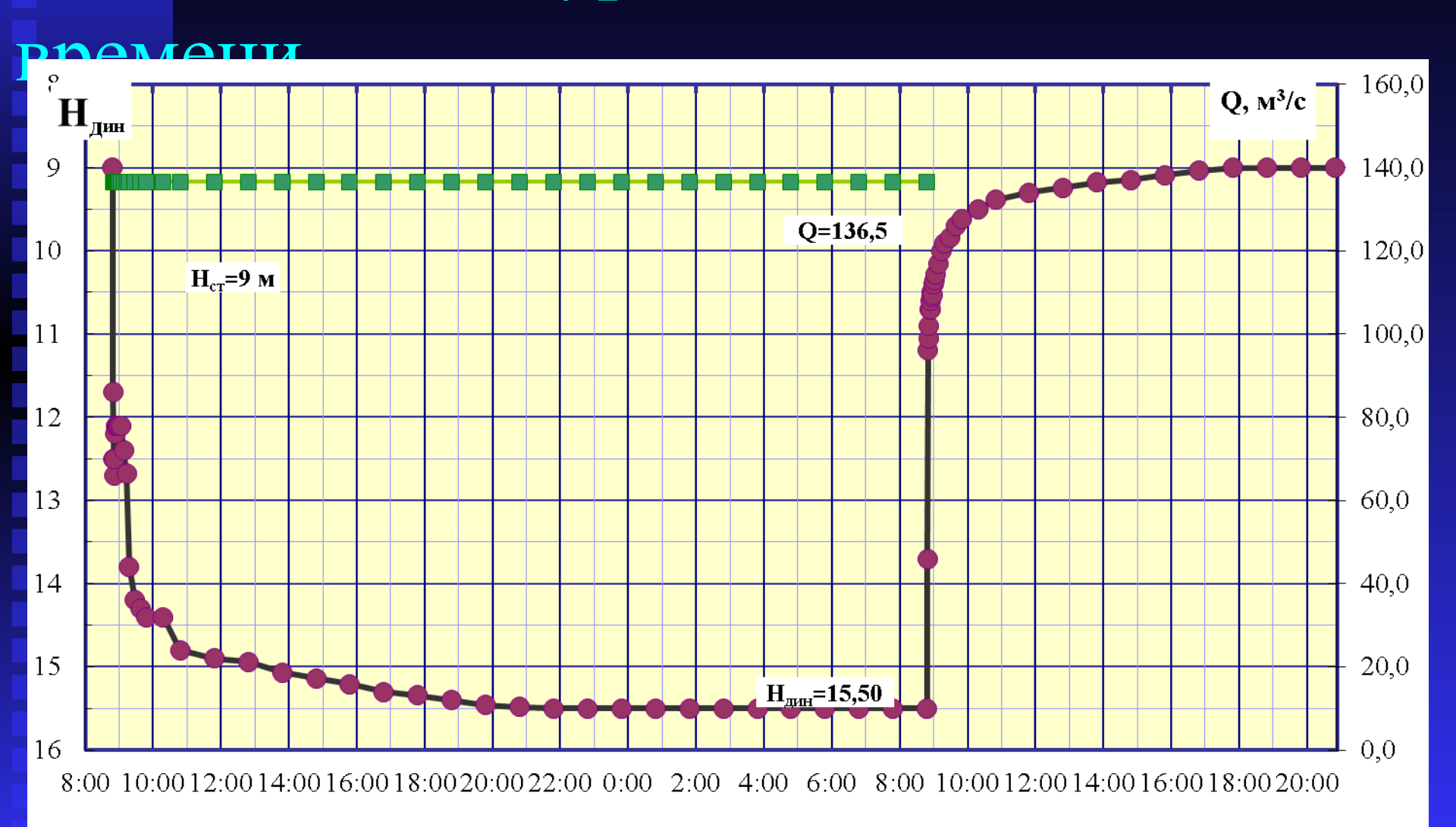
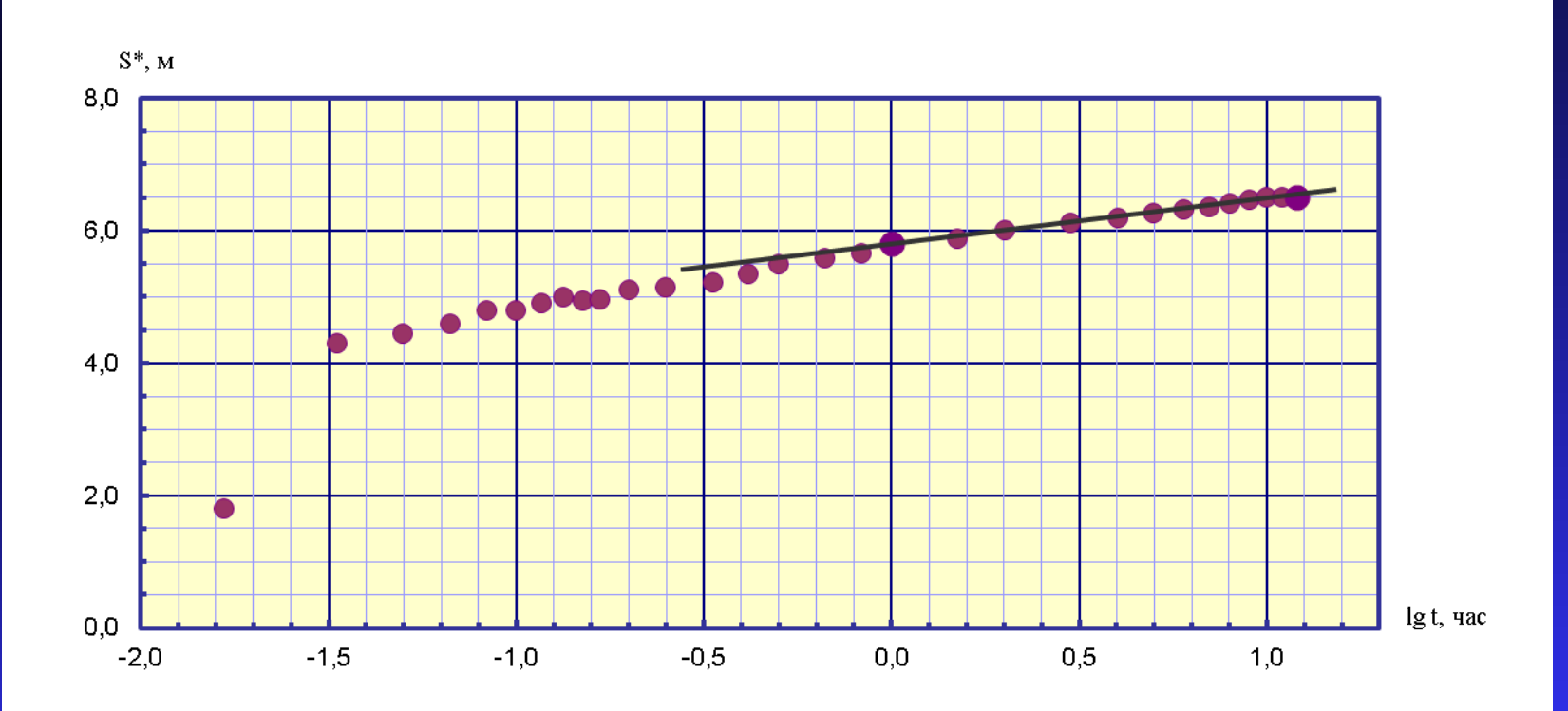


График временного прослеживания уровня (S-lg t)



Уравнение Тейса

Для неограниченного в плане напорного водоносного горизонта в рыхлых породах снижение уровня во времени на некотором расстоянии от откачиваемой скважины описывается уравнением Тейса

$$S = \frac{Q}{4\pi km} \left[-E_i \left(-\frac{r^2}{4at} \right) \right], \qquad (12.1)$$

где S— понижение напора в пласте на расстоянии r от опытной скважины через время t после начала откачки; Q— дебит опытной скважины; km— водопроводимость водоносного горизонта; E_i — символ интегральной показательной функции; a— коэффициент пьезопроводности.

С возрастанием времени аргумент функции E_i уменьшается, и при $r^2/(4at) < 0.1$ можно заменить ее логарифмом с погрешностью менее 7.8 % и записать уравнение (12.1) в логарифмической форме

$$S = \frac{0.183Q}{km} \lg \frac{2.25at}{r^2}.$$
 (12.2)

Время наступления квазистационарного режима фильтрации

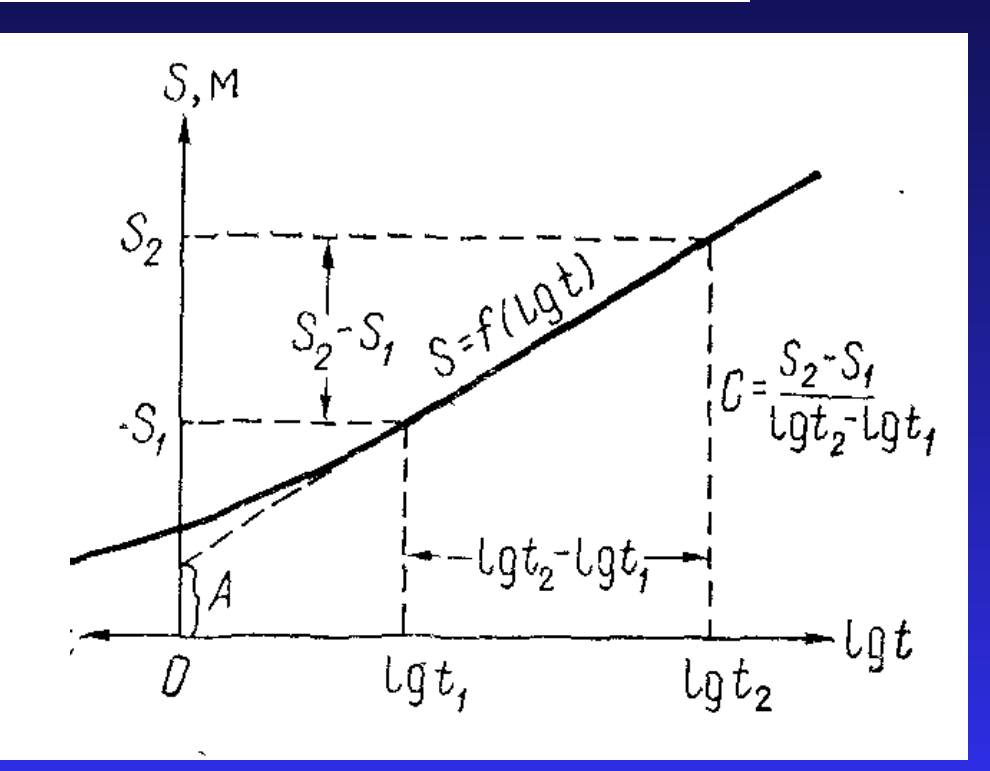
$$t_k = 2.5r_k^2/a; \quad r_k = 1.58\sqrt{at_{\rm K}}.$$

Уравнение (12.2) можно представить в виде уравнения прямой линии в координатах S— $\lg t$:

$$S = A + C \lg t,$$
 (12.3)

где

$$A = \frac{0.183Q}{km} \lg \frac{2.25}{r^2};$$



C = 0.183Q / k

Преобразование ур-я Тейса

в координатах:

S-lgt -временное, S-lgr- площадное, S-lg t/r²- комбинированное прослеживание уровня

$$S = A_t + C_t \lg t;$$
 $A_t = \frac{0.183Q}{km} \lg \frac{2.25a}{r^2};$ $C_t = \frac{0.183Q}{km};$

Временное прослеживание

(12.8)

$$S = A_r + C_r \lg r;$$
 $A_r = \frac{0,183Q}{km} \lg 2,25at;$

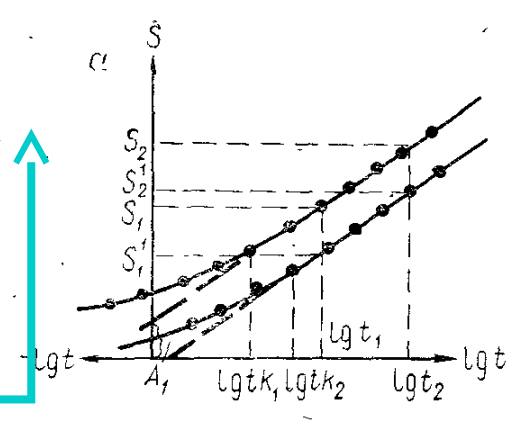
$$C_r = \frac{0.366Q}{bm}; (12.9)$$

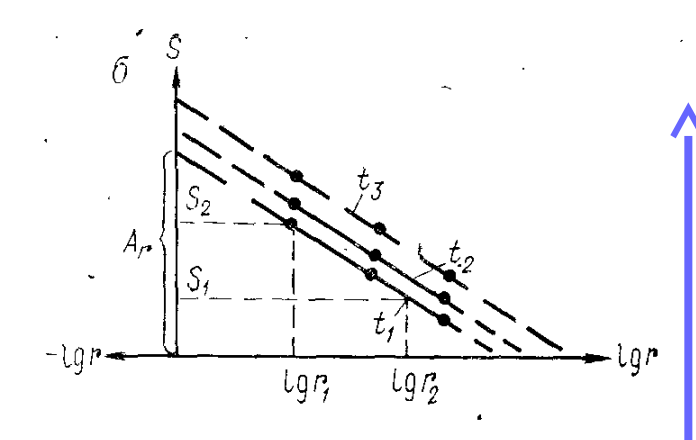
Площадное прослеживание

$$S = A_{\kappa} + C_{\kappa} \lg \frac{1}{r^2}; \quad A_{\kappa} = \frac{1}{km} \lg 2,25a;$$

$$C_{K} = \frac{0.183Q}{bm} \,. \tag{12.10}$$

Комбинированное прослеживание





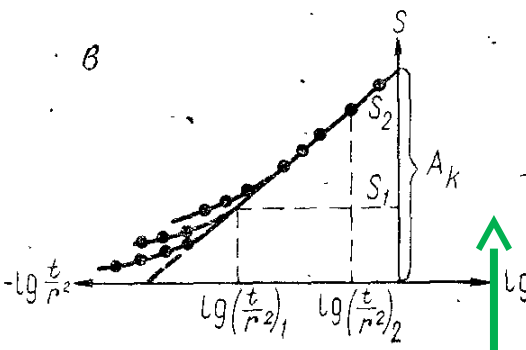


Рис. 31. Графики прослеживания снижения уровня в наблюдательных скважинах:

$$a$$
 — временное прослеживание $C_t = \frac{S_2 - S_1}{\lg t_2 - \lg t_1}$; δ — площадное прослежи-

ное прослеживание
$$C_k = \frac{S_2 - S_1}{\lg\left(\frac{t}{r^2}\right)_2 - \lg\left(\frac{t}{r^2}\right)_1}$$

нам — коэффициент пьезопроводности:

$$km = \frac{0,165Q}{C_t};$$

$$km = \frac{0,366Q}{C_r};$$

$$km = \frac{0,183Q}{C_K}$$

$$km = \frac{0.183Q}{C_t};$$
 $\lg \alpha = \frac{A_t}{C_t} + 2 \lg r - 0.35;$ (12.11)

$$\lg \alpha = \frac{A_{K}}{C_{K}} - 0.35. \qquad (12.13)$$

Any Questions?